

## 湿法冶金过程

第四章 湿法冶金过程

# 湿法冶金过程

## HYDROMETALLURGICAL PROCESSES

钟竹前

梅光贵

编著

Zhong Zhuqian

Mei Guanggui

中南工业大学出版社

## 湿法冶金过程

钟竹前 梅光贵 编著

责任编辑 刘楷英

\*

中南工业大学出版社出版发行

湖南省地质测绘印刷厂印装

湖南省新华书店经销

\*

开本：850×1168 1/32 印张：9.5625 字数：250千字

1988年6月第1版 1988年6月第1次印刷

印数：0001—3000

\*

ISBN 7-81020-150-6/TF·009

## 前　　言

本书系作者在赵天从、傅崇说两位教授指导下，在多年从事湿法冶金教学和科研实践的基础上而编著的，供最近应邀赴泰国讲学进行学术交流之用。其内容为重金属湿法冶金的全过程，着重阐明浸出、净化、电解三个过程的基本原理和技术条件，同时也介绍了十一种常用金属的湿法冶金工业实践。大多数内容取自作者曾主笔的教学用书、讲义和讲稿，已经过了多年的教学实践应用，并补充了新的内容。

书中第三章的“离子同时放电”和“电结晶过程”由钟少林编写。

本书编著过程，始终得到中南工业大学的校领导、冶金系领导以及重冶研究室领导的鼓励和同志们的支持，在此一并表示谢意。

由于作者水平有限，时间仓促，书中难免有不足和错误之处，敬请广大读者批评指正。

中南工业大学

钟竹前 杨焱

1988.2.20

## 目 录

<b>第一章 湿法冶金浸出过程</b>	.....	( 1 )
第一节 物质在水溶液中的稳定性	.....	( 1 )
第二节 金属和氧化矿的浸出过程	.....	( 16 )
第三节 金属硫化矿的浸出	.....	( 58 )
<b>第二章 浸出液的净化过程</b>	.....	( 97 )
第一节 水解净化法	.....	( 97 )
第二节 硫化沉淀法	.....	( 104 )
第三节 置换沉淀法	.....	( 112 )
第四节 离子浮选法	.....	( 121 )
第五节 离子交换法	.....	( 124 )
第六节 有机萃取法	.....	( 133 )
第七节 高压氢还原	.....	( 155 )
<b>第三章 电解过程</b>	.....	( 175 )
第一节 概 论	.....	( 175 )
第二节 浓差极化	.....	( 179 )
第三节 电化学极化	.....	( 190 )
第四节 阴极过程	.....	( 198 )
第五节 电结晶过程	.....	( 214 )
第六节 阳极过程	.....	( 224 )
第七节 电流效率、槽电压、电能效率与电能消耗	.....	( 234 )
<b>第四章 湿法冶金实践</b>	.....	( 248 )
第一节 铜的湿法冶炼	.....	( 248 )
第二节 锌的湿法冶炼	.....	( 254 )
第三节 镍的湿法冶炼	.....	( 257 )
第四节 钴的提取	.....	( 264 )

第五节	粗铅及锡的电解精炼	( 268 )
第六节	锑的湿法冶炼	( 272 )
第七节	汞的湿法冶炼	( 277 )
第八节	镉的湿法冶炼	( 279 )
第九节	钨的冶炼	( 281 )
第十节	锰的冶炼	( 286 )
<b>参考文献</b>		( 292 )
<b>CONTENTS</b>		( 298 )

# 第一章 湿法冶金浸出过程

整个湿法冶金基本上可概括为三个过程：①浸出——用溶剂使矿石中有价元素转入水溶液；②净化——除去浸出液中有害杂质；③电解——包括电积和电解精炼。从净化液中沉出纯净金属称电积；由粗金属阳极溶解和阴极沉积纯金属的过程称电解精炼。

湿法冶金过程都是靠创造条件来控制物质在溶液中的稳定性。例如，浸出过程就是靠加入某种溶剂溶解矿物，使金属离子稳定在溶液中。而沉积过程则要求创造条件使金属离子在溶液中不稳定，例如，加入某种试剂（如氢），或者在电极上施加电位通以电流等，而使金属沉积析出。

## 第一节 物质在水溶液中的稳定性

物质在水溶液中的稳定程度主要决定于溶液的pH值，电位 $\varphi$ 以及反应物质的活度 $a$ 。

现代湿法冶金已广泛使用 $\varphi$ -pH图来分析各过程的热力学条件。下面将简要地按常温（25℃）和高温两种情况来说明一下固液间多相反应的自由焓变化和平衡式，借以绘制和应用 $\varphi$ -pH图。

### 一、常温金属(Me)-H<sub>2</sub>O系的电位( $\varphi$ )—pH图(25℃)

所有湿法冶金的化学反应都可用下列通式表示



这里有下列〔I〕，〔II〕，〔III〕三种情况。

〔I〕。有 $z$ 个电子迁移， $\varphi$ 与pH无关的氧化-还原反应，其反应的自由焓变化为

$$\Delta G = \Delta G^\circ + RT \ln \frac{a_B^b}{a_A^a} \quad (\text{取 } a_{H_2O} = 1)$$

这时自由焓变化转变为对外所作的最大有用电功，因为氢标为零，式中可用 $\varphi$ 代替电动势 $E$

$$-z\varphi F = -z\varphi^\circ F + RT \ln \frac{a_B^b}{a_A^a}$$

$$\varphi = \varphi^\circ + \frac{RT \times 2.303}{zF} \log \frac{a_A^a}{a_B^b}, \text{ 当 } 25^\circ \text{ 时}$$

$$\varphi = \varphi^\circ + \frac{1.987 \times 298 \times 2.303}{z \times 23060} \log \frac{a_A^a}{a_B^b}$$

$$\varphi = \varphi^\circ + \frac{0.0591}{z} \log \frac{a_A^a}{a_B^b} \quad [I]$$

在 [ I ] 反应中又有简单电极和离子之间电极反应的两种情况。

对于简单电极反应， $\text{Me}^{2+} + ze = \text{Me}$ ，其电位可用下式表示

$$\varphi = \varphi^\circ + \frac{0.0591}{z} \log a_{\text{Me}^{2+}} \quad (\text{因为 } a_{\text{Me}} = 1)$$

式中 $z$ 为电子迁移数， $a_{\text{Me}^{2+}}$ 为金属离子的活度， $\varphi^\circ$ 为标准电极电位。

$\varphi^\circ$ 值可由反应标准自由焓变化 $\Delta G^\circ$ 导出

$$\Delta G^\circ = -zF\varphi^\circ$$

因此，在知道了 $\Delta G^\circ$ 以后，就可算出 $\varphi^\circ$ 。

例如对于电极反应  $\text{Fe}^{2+} + 2e = \text{Fe}$  ①

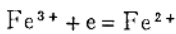
$$\Delta G^\circ = G_{\text{Fe}}^\circ - G_{\text{Fe}^{2+}}^\circ = 0 - (-20.3) = +20.3 \text{ 千卡}$$

$$\varphi_{\text{Fe}^{2+}/\text{Fe}}^\circ = \frac{-20300}{2 \times 23060} = -0.44 \text{ 伏}$$

即

$$\varphi_{\text{Fe}^{2+}/\text{Fe}}^\circ = -0.44 + 0.0295 \log a_{\text{Fe}^{2+}}$$

对于离子之间的电极反应，例如

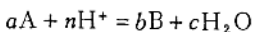


⑩

类似地可导出  $\varphi_{\text{Fe}^{3+}/\text{Fe}^{2+}}^{\circ} = 0.7706$  伏

所以  $\varphi_{\text{Fe}^{3+}/\text{Fe}^{2+}}^{\circ} = 0.7706 + 0.0591 \log \frac{a_{\text{Fe}^{3+}}}{a_{\text{Fe}^{2+}}}$

[ I ] . 无电子迁移，而离子活度只与 pH 有关的反应



这时  $\Delta G = \Delta G^{\circ} + RT \ln \frac{a_B^b}{a_A^n \cdot a_{H^+}^n} = 0$

即  $\Delta G^{\circ} = -RT \ln \frac{a_B^b}{a_A^n \cdot a_{H^+}^n}$

令  $a_B = a_A = 1$

$$\Delta G^{\circ} = -1.987 \times 298 \times 2.303 n \text{pH}^{\circ} = -1364 \text{pH}^{\circ}$$

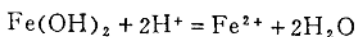
这时 pH<sup>°</sup> 叫标准 pH， pH<sup>°</sup> 数值为

$$\text{pH}^{\circ} = -\frac{\Delta G^{\circ}}{n1364}$$

反应 [ I ] 的平衡条件是

$$\text{pH} = \text{pH}^{\circ} - \frac{1}{n} \log \frac{a_B^b}{a_A^n} \quad [ II ]$$

例如对于下列反应



⑪

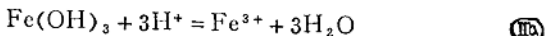
$$\Delta G^{\circ} = G_{\text{Fe}^{2+}}^{\circ} + 2G_{\text{H}_2\text{O}}^{\circ} - G_{\text{Fe(OH)}_2}^{\circ} - G_{\text{H}^+}^{\circ}$$

$$= -20300 + 2(-56690) - (-115570) - 0 = -18110 \text{ 卡}$$

$$pH^{\circ} = -\frac{18110}{2 \times 1364} = 6.64$$

$$pH = 6.64 - \frac{1}{2} \log a_{Fe^{2+}}$$

类似可求出下列反应的  $pH^{\circ}$  和  $pH$  为

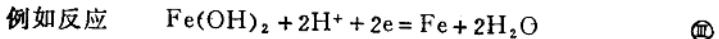


$$pH^{\circ} = 1.617, \quad pH = 1.617 - \frac{1}{3} \log a_{Fe^{3+}}$$

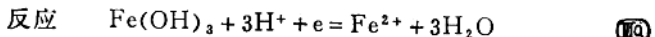
[ II ]. 有电子迁移，而  $\varphi$  与  $pH$  有关的氧化还原反应，反应的电极电位为

$$\varphi = \varphi^{\circ} - \frac{n}{z} \times \frac{2.303RT}{F} pH + \frac{2.303RT}{zF} \log \frac{a_A^{\circ}}{a_B^{\circ}}$$

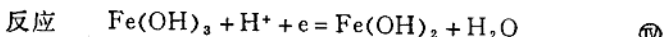
$$25^{\circ}C \text{ 时} \quad \varphi = \varphi^{\circ} - \frac{n}{z} 0.0591 pH + \frac{0.0591}{z} \log \frac{a_A^{\circ}}{a_B^{\circ}} \quad [II]$$



$$\varphi = -0.047 - 0.0591 pH$$



$$\varphi = 1.057 - 0.1773 pH - 0.0591 \log a_{Fe^{2+}}$$



$$\varphi = 0.271 - 0.0591 pH$$

所以对于一个简单的  $Me-H_2O$  系

[ I ] 类反应  $Me^{n+} + ne = Me$ , 平衡条件是

$$\varphi_1 = \varphi_1^{\circ} + \frac{0.0591}{z} \log a_{Me^{2+}} \quad [I]$$

[ II ] 类反应  $Me(OH)_n + nH^+ = Me^{n+} + nH_2O$ , 平衡条件是

$$pH_2 = pH_2^\circ - \frac{1}{n} \log a_{Me^{n+}} \quad [II]$$

[I]类反应  $Me(OH)_n + nH^+ + ne = Me + nH_2O$

平衡条件是  $\varphi_3 = \varphi_3^\circ - 0.0591pH \quad [III]$

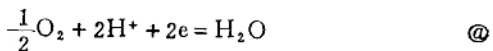
有关简单Me-H<sub>2</sub>O系的 $\varphi^\circ$ , pH<sup>o</sup>数值列举在表1-1中。

表1-1 有关Me-H<sub>2</sub>O系 $\varphi^\circ$ -pH<sup>o</sup>数值

$Me^{n+}-Me$	$Me(OH)_n$	$\varphi_3^\circ$	$\varphi_1^\circ$	$pH_2^\circ$
Ag <sup>+</sup> -Ag	Ag <sub>2</sub> O	1.173	0.7991	6.32
Cu <sup>2+</sup> -Cu	Cu(OH) <sub>2</sub>	0.609	0.337	4.60
BiO <sup>+</sup> -Bi	Bi <sub>2</sub> O <sub>3</sub>	0.370	0.320	2.57
AsO <sup>+</sup> -As	As <sub>2</sub> O <sub>3</sub>	0.234	0.254	-1.02
SbO <sup>+</sup> -Sb	Sb <sub>2</sub> O <sub>3</sub>	0.152	0.212	-3.05
Tl <sup>+</sup> -Tl	Tl(OH)	0.483	-0.336	13.90
Pb <sup>2+</sup> -Pb	Pb(OH) <sub>2</sub>	0.242	-0.126	6.23
Ni <sup>2+</sup> -Ni	Ni(OH) <sub>2</sub>	0.110	-0.241	6.09
Co <sup>2+</sup> -Co	Co(OH) <sub>2</sub>	0.095	-0.277	6.30
Cd <sup>2+</sup> -Cd	Cd(OH) <sub>2</sub>	0.022	-0.41	7.20
Fe <sup>2+</sup> -Fe	Fe(OH) <sub>2</sub>	-0.047	-0.44	6.64
Sn <sup>2+</sup> -Sn	Sn(OH) <sub>2</sub>	-0.091	-0.136	0.75
In <sup>3+</sup> -In	In(OH) <sub>3</sub>	-0.173	-0.342	3.00
Zn <sup>2+</sup> -Zn	Zn(OH) <sub>2</sub>	-0.417	-0.763	5.85
Cr <sup>2+</sup> -Cr	CrO	-0.588	-0.913	5.50
Mn <sup>2+</sup> -Mn	Mn(OH) <sub>2</sub>	-0.727	-1.180	7.65

在湿法冶金中不用说人们要注意到水的稳定性问题。水本身仅仅是在一定电位和pH条件下才是稳定的。

水稳定的上限是析出氧，其稳定程度由下式确定



$$\varphi_{O_2/H_2O} = 1.229 - 0.0591 \text{pH} \quad (\text{当 } p_{O_2} = 1 \text{ 大气压})$$

水的稳定下限是析出氢，其稳定程度由下式确定



$$\varphi_{H^+/H_2} = 0 - 0.0591 \text{pH} \quad (\text{当 } p_{H_2} = 1 \text{ 大气压})$$

根据表1-1所列上述[ I ] [ II ] [ III ]反应的  $\varphi^\circ$ 、 $\varphi_s$ 、 $\text{pH}_\frac{1}{2}$  值，如果还运用前面所列的⑩ ⑪ ⑫ 及⑬ 反应的  $\varphi^\circ$  和  $\text{pH}^\circ$  值，我们就可以作出一个完整的Fe-H<sub>2</sub>O系的  $\varphi$ -pH图（注意这里均假定，除H<sup>+</sup>外，其他物质活度都等于1）。见图1-1。在电位  $\varphi$ -

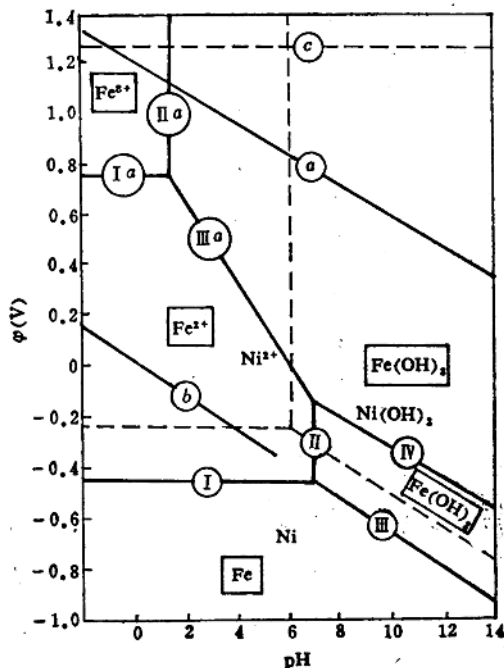


图1-1 Fe-H<sub>2</sub>O系  $\varphi$ -pH图(25℃,  $a = 1$ )

pH图中一般都绘有标志着水稳定性的④( $O_2$ )线和⑥( $H_2$ )线。

究竟 $Me-H_2O$ 系 $\varphi-pH$ 图有什么用途呢？现作如下说明。

从图1-1看出，图中① ⑩ ⑪ 线将整个 $Me-H_2O$ 系划分为 $Me^{n+}$ ， $Me(OH)_2$ 和 $Me$ 三个区域。而这三个区域也就构成了湿法冶金的浸出、净化和电积过程所要求的稳定区域。

湿法冶金的浸出过程就是创造条件使有价金属进入到 $Me^{n+}$ 区域。例如，对于金属铜或镍，就需要使用氧化剂④线，使金属Cu或Ni通过①线氧化成 $Cu^{2+}$ 和 $Ni^{2+}$ 而稳定在 $Cu^{2+}$ 区和 $Ni^{2+}$ 区。对于氧化锌，就需要增加酸度，使溶液酸度超过⑩线而进入 $Zn^{2+}$ 区。

净化中广泛采用的水解法，就是调节溶液中的pH使主体金属离子不水解，而杂质金属离子因为pH超过了⑪线而呈 $Me(OH)_2$ 沉淀析出。例如，为了除掉 $Fe^{2+}$ ，水解净化的pH只能在 $Ni^{2+}$ 的 $pH_2^{\circ} = 6.09$ 以下进行，但是 $Fe^{2+}$ 的 $pH_2^{\circ} = 6.64$ 比 $Ni^{2+}$ 的还大，因此，为了除去 $Fe^{2+}$ ，必需使用氧化剂 $O_2$ (④线)或者 $Cl_2$ (⑩线， $\varphi_{Cl_2/Cl^-}^{\circ} = 1.39$ 伏)使 $Fe^{2+}$ 通过⑪线氧化成 $Fe^{3+}$ ，随后加中和剂到pH超过 $pH^{\circ} = 1.617$ 而转入 $Fe(OH)_3$ 区。

电积过程就是创造条件使 $Me^{n+}$ 不稳定而转入 $Me$ 区。例如，从水溶液中电积镍，就是借在电极(阴极)上施加电位，使 $Ni^{2+}$ 通过①线还原成金属镍。从图1-1看出，反应⑥(析出 $H_2$ )与反应⑪(析出金属Ni)将发生竞争。从电位上看，当pH低时将析出氢，当pH高时将有利于析出金属镍，因此镍电解采用了近中性的电解液进行隔膜电解。

## 二、高温 $Me-H_2O$ 系的 $\varphi_T-pH_T$ 图

目前湿法冶金正朝着高温方向发展，随着温度的升高，物质稳定性 $\varphi_T$ 和 $pH_T$ 较之常温的 $\varphi_{25}$ 和 $pH_{25}$ 将发生显著迁移。

### 1. 物质在高温水溶液中的稳定性

#### 1) 高温 $\varphi_T^{\circ}$ 和 $pH_T^{\circ}$ 的计算

任何化学反应系统的热焓变化 $d\Delta H^{\circ}$ 为

$$d\Delta H^\circ = \Delta C_p^\circ dT$$

如果把由298K变化到TK温度范围内的热容变化视为一平均恒定值， $\Delta \bar{C}_p^\circ \Big|_{298}^T$ ，便可积分得到

$$\Delta H_T^\circ = \Delta H_{298}^\circ + \Delta \bar{C}_p^\circ (T - 298) \quad (1)$$

化学反应的熵变化  $d\Delta S^\circ = \Delta \bar{C}_p^\circ \frac{dT}{T}$ ，类似积分得

$$\Delta S_T^\circ = \Delta S_{298}^\circ + \Delta \bar{C}_p^\circ \ln \frac{T}{298} \quad (2)$$

(1) - T × (2)便得到

$$\begin{aligned} \Delta G_T^\circ &= \Delta G_{298}^\circ - \Delta S_{298}^\circ (T - 298) + \Delta \bar{C}_p^\circ [(T - 298) \\ &\quad - T \ln \frac{T}{298}] \end{aligned} \quad (3)$$

根据(3)式，对于氧化还原系统，任何温度的 $\varphi_T^\circ$ 为

$$\begin{aligned} \varphi_T^\circ &= \varphi_{298}^\circ + \frac{(T - 298) \Delta S_{298}^\circ}{Fz} \\ &\quad - \frac{(T - 298) - T \ln \frac{T}{298}}{F} \times \frac{\Delta \bar{C}_p^\circ \Big|_{298}^T}{z} \end{aligned} \quad (4)$$

式中F为法拉第常数，z为电子迁移数。

对于溶解-沉淀反应系统，高温pH<sub>T</sub><sup>o</sup>为

$$\begin{aligned} \text{pH}_T^\circ &= \frac{298}{T} \times \text{pH}_{298}^\circ + \frac{(T - 298)}{2.303 \times RT} \times \frac{\Delta S_{298}^\circ}{n} \\ &\quad - \frac{(T - 298) - T \ln \frac{T}{298}}{2.303 RT} \times \frac{\Delta \bar{C}_p^\circ \Big|_{298}^T}{n} \end{aligned} \quad (5)$$

式中n为参与反应的H<sup>+</sup>数。

当温度固定时，根据(4)、(5)式我们便可以计算得到湿法冶金常用温度的标准公式：

$$40^{\circ}\text{C} \quad \text{pH}_T^{\circ} = 0.9521\text{pH}_{298}^{\circ} + 0.01047 \frac{\Delta S_{298}^{\circ}}{n} + 0.0002592 \frac{\Delta \bar{C}_p^{\circ}}{n} \quad (6)$$

$$80^{\circ}\text{C} \quad \text{pH}_T^{\circ} = 0.8441\text{pH}_{298}^{\circ} + 0.03405 \frac{\Delta S_{298}^{\circ}}{n} + 0.002995 \frac{\Delta \bar{C}_p^{\circ}}{n} \quad (7)$$

$$100^{\circ}\text{C} \quad \text{pH}_T^{\circ} = 0.7989\text{pH}_{298}^{\circ} + 0.04394 \frac{\Delta S_{298}^{\circ}}{n} + 0.005124 \frac{\Delta \bar{C}_p^{\circ}}{n} \quad (8)$$

$$200^{\circ}\text{C} \quad \text{pH}_T^{\circ} = 0.6299\text{pH}_{298}^{\circ} + 0.08085 \frac{\Delta S_{298}^{\circ}}{n} + 0.02013 \frac{\Delta \bar{C}_p^{\circ}}{n} \quad (9)$$

$$40^{\circ}\text{C} \quad \varphi_T^{\circ} = \varphi_{298}^{\circ} + 0.0006506 \frac{\Delta S_{298}^{\circ}}{z} + 0.00001562 \frac{\Delta \bar{C}_p^{\circ}}{z} \quad (10)$$

$$80^{\circ}\text{C} \quad \varphi_T^{\circ} = \varphi_{298}^{\circ} + 0.002385 \frac{\Delta S_{298}^{\circ}}{z}$$

$$+ 0.0002099 \frac{\Delta \bar{C}_p^\circ}{z} \quad (11)$$

$$100^\circ\text{C} \quad \varphi_T^\circ = \varphi_{298}^\circ + 0.003253 \frac{\Delta S_{298}^\circ}{z}$$

$$+ 0.0003795 \frac{\Delta \bar{C}_p^\circ}{z} \quad (12)$$

$$200^\circ\text{C} \quad \varphi_T^\circ = \varphi_{298}^\circ + 0.007589 \frac{\Delta S_{298}^\circ}{z}$$

$$+ 0.001891 \frac{\Delta \bar{C}_p^\circ}{z} \quad (13)$$

从上列(6)~(13)式可看出，当温度在80°C以下，平均热容变化 $\Delta \bar{C}_p^\circ$ 对 $\text{pH}_T^\circ$ 和 $\varphi_T^\circ$ 影响很少，可忽略不计。当温度在80°C以上，特别是100°C以上，为精确计算起见，必需考虑 $\Delta \bar{C}_p^\circ$ 值的影响。

### 2) $\Delta G_{298}^\circ$ , $\Delta S_{298}^\circ$ 和 $\Delta \bar{C}_p^\circ$ 值

关于(6)~(13)式中的 $\varphi_{298}^\circ$ 和 $\text{pH}_{298}^\circ$ 值，一律按 Latimer 的  $G_{298}^\circ$  值[13]计算

$$-n1364\text{pH}_{298}^\circ = \Delta G_{298}^\circ = -z \times 23060 \times \varphi_{298}^\circ \quad (14)$$

(对于溶解沉淀反应) (对于氧化还原反应)

式中  $n$  和  $z$  分别为反应系统参与反应的  $\text{H}^+$  数和电子迁移数。

文献[13]中没有的  $G_{298}^\circ$ ，则取自专题文献。

例如下列物质的  $G_{298}^\circ$  (千卡/克分子) 为

物 质	$K\text{Fe}_3(\text{SO}_4)_2(\text{OH})_6$	$\text{FeOOH}$	$\text{FeAsO}_4$
$G_{298}^\circ$	-794.04	-117.2	-182.13

关于 $\Delta S_{298}^{\circ}$ 也一律按Latimer的 $S^{\circ}$ 值计算，见文献[13]。

对于平均热容 $\bar{C}_p^{\circ}|_{298}^T$ ，拟分别按两种情况进行估算：中性物质平均热容 $\bar{C}_p^{\circ}$ 和离子平均热容 $\bar{C}_i^{\circ}$ 。

### ①中性物质平均热容 $\bar{C}_p^{\circ}$

一般中性物质的热容可用下列通式表示

$$C_p^{\circ} = a + bT + cT^2 + c' T^{-2}$$

$C_p^{\circ} dT = adT + bTdT + cT^2dT + c'T^{-2}dT$ ，积分得

$$\begin{aligned}\bar{C}_p^{\circ}|_{T_1}^{T_2} &= a \frac{T_2 - T_1}{T_2 - T_1} + \frac{T_2^2 - T_1^2}{2(T_2 - T_1)} + \frac{c'}{T_2 T_1} + \\ &+ \frac{c}{3} (T_2^2 + T_2 T_1 + T_1^2)\end{aligned}$$

当温度 $T$ 一定时，便可把上式简化为（对于反应的平均热容变化）：

$$\begin{aligned}\text{当 } 100\text{ }^{\circ}\text{C} \quad \Delta \bar{C}_p^{\circ} &= \Delta a + 0.3355 \times 10^3 \Delta b + 1.13 \times 10^5 \Delta c \\ &+ 0.9 \times 10^{-5} \Delta c'\text{，对于某物质式中不用 } \Delta\end{aligned}$$

$$\begin{aligned}\text{当 } 200\text{ }^{\circ}\text{C} \quad \Delta \bar{C}_p^{\circ} &= \Delta a + 0.3855 \times 10^3 \Delta b + 1.512 \times 10^5 \Delta c \\ &+ 0.71 \times 10^{-5} \Delta c'\text{。}\end{aligned}$$

利用上列式，并取文献[105] $\text{Fe}_2\text{O}_3$ 的热容温度系数，便可以计算出 $100\text{ }^{\circ}\text{C}$  $\text{Fe}_2\text{O}_3$ 的 $\bar{C}_p^{\circ}$ 值，为25.76卡/度。

### ②离子平均热容 $\bar{C}_i^{\circ}$

离子平均热容可用Criss相应原理求得。试验证实，对于同类离子，温度 $t$ 时的绝对熵值与参比温度 $25\text{ }^{\circ}\text{C}$ 时的绝对熵值成正比